

La représentation des images par les graphes

Aline Deruyver

Laboratoire Icube, équipe BFO

Plan du cours

- Pourquoi les graphes ?
- Rappels et définitions
- De l'image à l'objet graphe: les graphes d'adjacence de régions
- Simplification de graphes
 - division et fusion de régions
 - fusion pyramidale
- Interprétation d'images: Mise en correspondance de graphes
 - Isomorphisme de graphes et sous graphes
 - Isomorphisme de sous-graphe avec tolérance d'erreur
 - Mise en correspondance inexacte: un problème de satisfaction de contraintes

Pourquoi des graphes ?

- Intérêt : représentation compacte, structurée, complète, facile à manipuler
- Applications :
 - Traitement d'images : segmentation, détection de contours
 - Reconnaissance des formes : caractères, objets (bâtiments 2D ou 3D,
 - structures cérébrales, reconnaissance de visages (avec ou sans modèle)
 - Recalage d'images
 - Indexation
 - Interprétation de scènes structurées ...

Définition et rappels

- Graphe : $G = (X, E)$
 - X ensemble des sommets ($|X|$ **ordre** du graphe)
 - E ensemble des arêtes ($|E|$ **taille** du graphe)
 - graphe **complet** (taille $n(n-1)/2$)
 - graphe **partiel** $G = (X, E')$ avec E' partie de E
 - **sous-graphe** $F = (Y, E')$, $Y \subseteq X$ et $E' \subseteq E$
 - **degré** d'un sommet x : $d(x) =$ nombre d'arêtes
 - graphe **connexe** : pour toute paire de sommets, il existe une chaîne les reliant
 - **arbre** : graphe connexe sans cycles
 - **clique** : sous-graphe complet
 - graphe **dual** (face \rightarrow noeud)
 - graphe **aux arêtes** (arête \rightarrow noeud)
 - **hypergraphe** (relations n -aires)
 - graphes **pondérés** : coûts ou poids sur les arcs

Exemples de graphes

- **Graphe relationnel attribué** : $G = (X, E, \mu, \nu)$
 - $\mu : X \rightarrow LX$ interpréteur de sommets ($LX =$ attributs des noeuds)
 - $\nu : E \rightarrow LE$ interpréteur d'arcs ($LE =$ attributs des arcs)
 - Exemples :
 - graphe des pixels
 - graphe d'adjacence de régions
 - régions de Voronoï / triangulation de Delaunay
 - graphe de primitives avec des relations plus complexes
- **Graphe aléatoire** : sommets et arcs = variables aléatoires
- **Graphe flou** : $G = (X, E = X \times X, \mu_f, \nu_f)$
 - $\mu_f : X \rightarrow [0, 1]$
 - $\nu_f : E \rightarrow [0, 1]$
 - avec $\forall (u, v) \in X \times X \quad \nu_f(u, v) \leq \mu_f(u)\mu_f(v) \quad \text{ou} \quad \nu_f(u, v) \leq \min[\mu_f(u)\mu_f(v)]$

Exemples de graphes (suite)

- **Graphe d'attributs flous** : graphe relationnel attribué avec valeur floue pour chaque attribut
- **Graphe hiérarchique** :
 - graphes à plusieurs niveaux et graphe biparti entre deux niveaux
 - (approches multi-échelles, regroupements d'objets, ...)
 - Exemples :
 - quadrees, octrees
 - pyramide de graphes d'adjacence de régions
- **Graphes de raisonnement**
 - (graphe de mise en correspondance, arbre de décision,...)

Plan du cours

- Pourquoi les graphes ?
- Rappels et définitions
- De l'image à l'objet graphe: les graphes d'adjacence de régions
- Simplification de graphes
 - division et fusion de régions
 - fusion pyramidale
- Interprétation d'images: Mise en correspondance de graphes
 - Isomorphisme de graphes et sous graphes
 - Isomorphisme de sous-graphe avec tolérance d'erreur
 - Mise en correspondance inexacte: un problème de satisfaction de contraintes

De l'image à l'objet-graphe

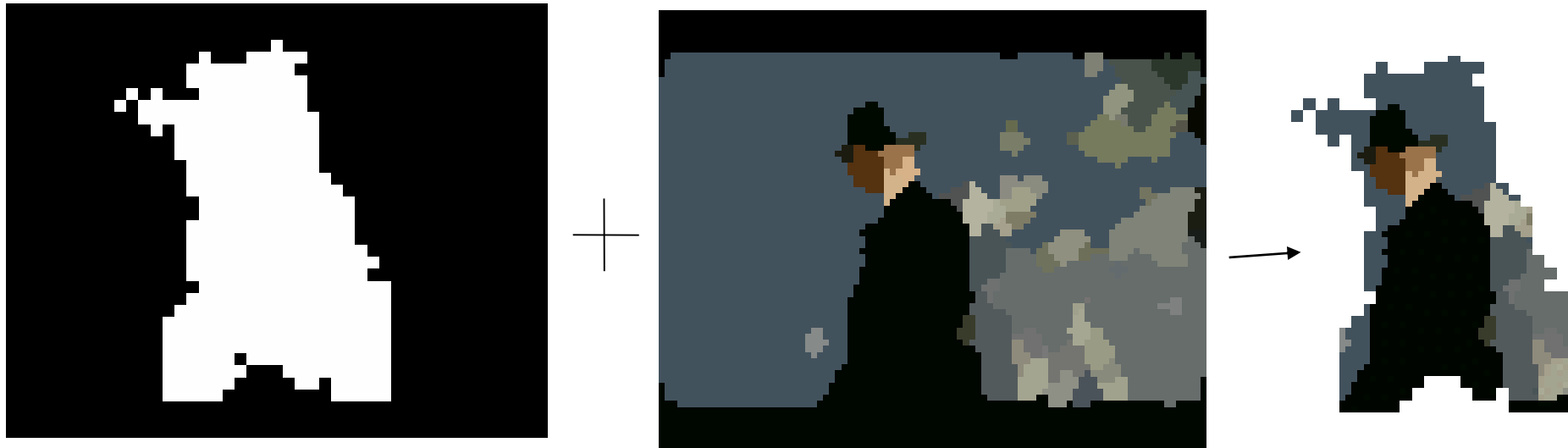
- Segmentation



Manerbba, Benois-Pineau, Leonardi : *Extraction of foreground objects from a mpeg2 video stream in rough indexing framework*, SPIE '04, San José, California

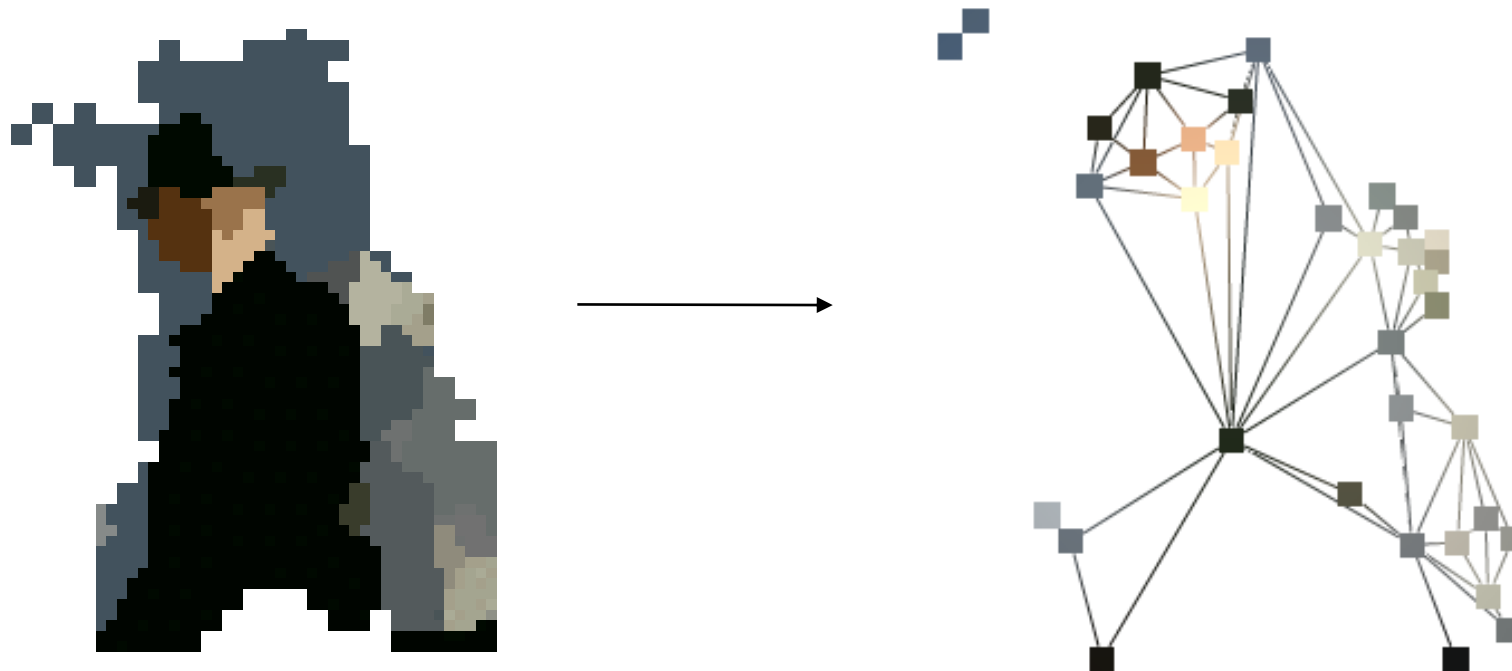
De l'image à l'objet-graphe

- Segmentation
- **Récupération et application du masque de l'objet**



De l'image à l'objet-graphe

- Segmentation
- Récupération et application du masque de l'objet
- **Construction du graphe d'adjacence**

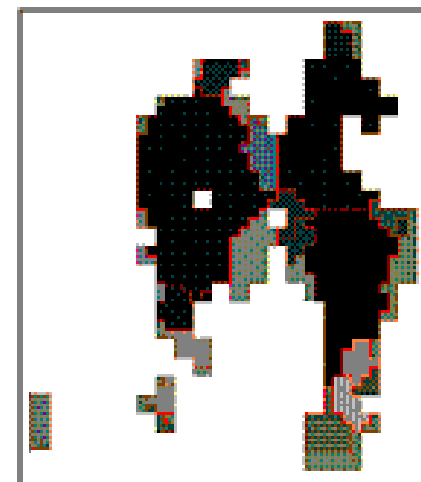
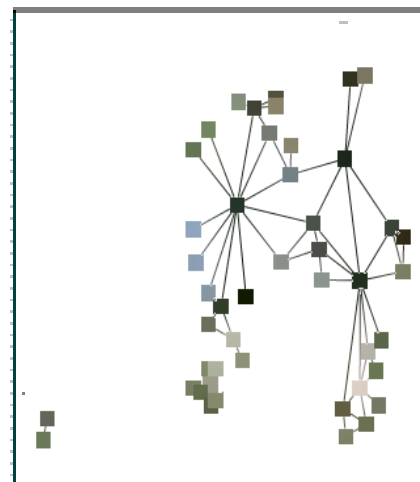
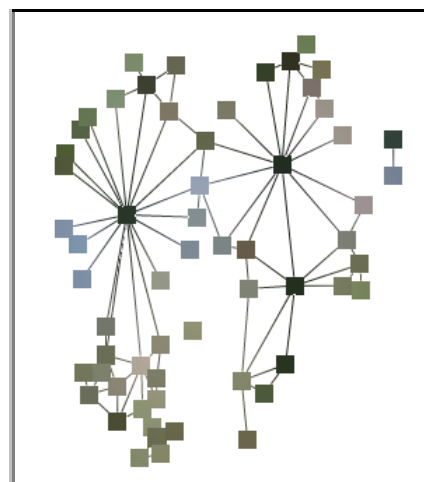


De l'image à l'objet-graphe



60 régions

46 régions



De l'image à l'objet-graphe

- Défauts
 - Sursegmentation
 - ⇒ beaucoup de petites régions
 - Problèmes liés à l'extraction du masque
 - ⇒ pixels du fond
 - ⇒ régions coupées

Plan du cours

- Pourquoi les graphes ?
- Rappels et définitions
- De l'image à l'objet graphe: les graphes d'adjacence de régions
- **Simplification de graphes**
 - division et fusion de régions
 - fusion pyramidale
- Interprétation d'images: Mise en correspondance de graphes
 - Isomorphisme de graphes et sous graphes
 - Isomorphisme de sous-graphe avec tolérance d'erreur
 - Mise en correspondance inexacte: un problème de satisfaction de contraintes

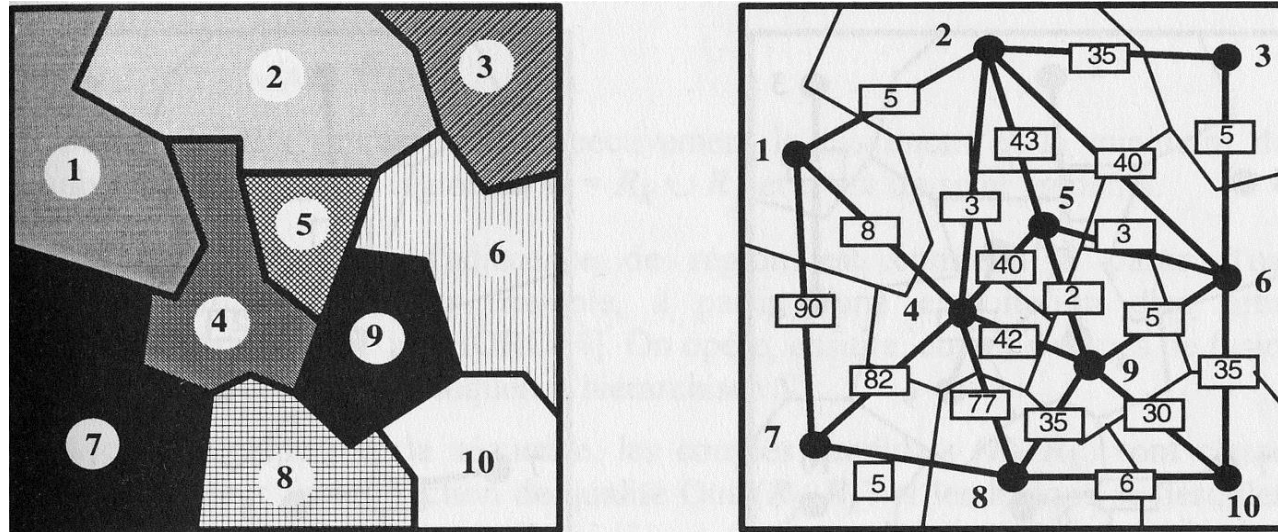
Division et fusion de régions dans un graphe

- Procède par éclatement et regroupement de composantes de l'image décrite à l'aide d'un **graphe d'adjacence**.
- **Définition:** Un graphe d'adjacence de régions est défini par $G=(V,E)$
 - V: ensemble des sommets
 - E: ensemble des arêtes

Chaque sommet v_i est associé à une région R_i . Une arête est un couple (v_j, v_k) de sommets entre 2 régions adjacentes. G est non orienté.

Division et fusion de régions

- Soit une segmentation initiale est représentée par un tel graphe



Division et fusion de régions: algorithme général (Pavlidis 77)

- Module division
 - $T := \text{VRAI}$
 - Tant que t répéter
 - $t := \text{faux}$
 - pour chaque sommet R_k faire
 - si non($\text{Pred1}(R_k)$) alors
 - » $t := \text{VRAI}$
 - » partager R_k en N_k régions suivant un critère donné
 - » mettre à jour le graphe
 - Fsi
 - Fpour
 - ftq

Division et fusion de régions: algorithme général (Pavlidis 77)

- Module de fusion
 - $T := \text{VRAI}$
 - Tant que t répéter
 - $T := \text{FAUX}$
 - Pour chaque sommet R_k adjacent à un sommet R_j faire
 - Si $\text{Pred2}(R_k \cup R_j) = \text{VRAI}$ alors
 - » $T := \text{vrai}$
 - » Fusionner R_j et R_k
 - » Mettre à jour le graphe
 - Fsi
 - Fpour
 - ftq

Division et fusion de régions: convergence

- **La procédure de division converge:** le graphe limite est celui correspondant au maillage
- **La procédure de fusion converge:** le graphe limite possède un seul sommet correspondant à toute l'image
- **Pas de cycle possible:** toutes les fusions ont lieu avant les divisions

Division et fusion de régions: charge de calcul

- Elle est liée:
 - Au **calcul des attributs** associés aux sommets et aux arêtes du graphe
 - À la **mise à jour du graphe** après chaque fusion ou division. Cette mise à jour est généralement moins coûteuse après une fusion.
 - **Exemple:** si pour un attribut $A(R_i)$ il existe une loi de composition telle que

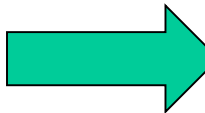
$$A(R_i \cup R_j) = A(R_i) \circ A(R_j)$$

Division et fusion de régions: avantage de l'approche

- L'information obtenue à partir des régions est **statistiquement plus fiable** que celle calculée à partir des pixels (robustesse vis-à-vis du bruit).

Division et fusion de régions: problème de l'ordre des fusions

- Des ordres de fusion différents conduisent à des segmentations différentes.
- Solution: établir une hiérarchie de critères
- Exemple: associer à chaque arête de $G[V,E]$ un **coût de fusion**.

 Détecter sur le graphe l'arête de **moindre coût** à chaque itération. La segmentation est alors unique

Division et fusion de régions: sélection et fusion des arêtes candidates

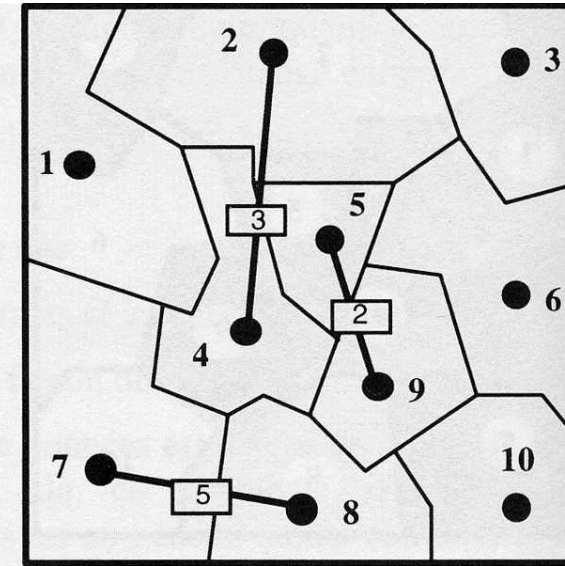
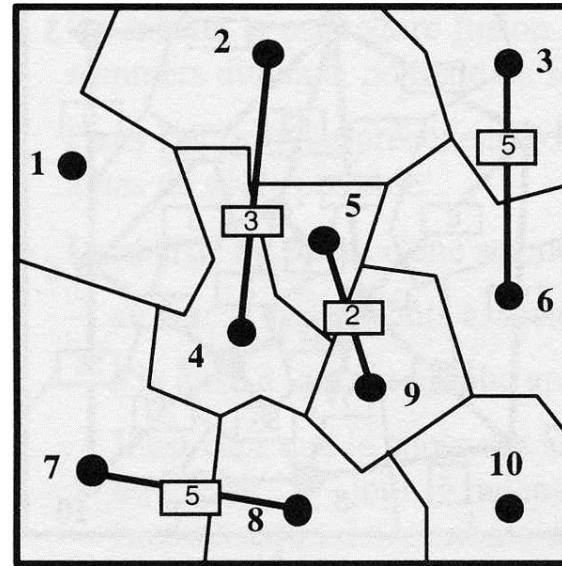
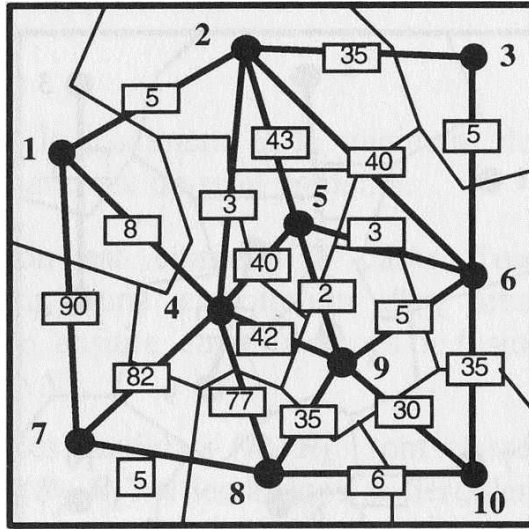
- Répéter
 - Sélectionner un sous-ensemble E' de E tel que chaque sommet de V n'apparaisse qu'une fois dans E'
 - Fusionner 2 à 2 les régions associées aux éléments de E'
 - Mettre à jour V et E
- Jusqu'à plus de fusion possible

Division et fusion de régions: choix de E'

- But: garantir une bonne segmentation
- Exemples de choix:
 - Soit l_c le coût minimale de fusion des arêtes et t un seuil donné. E' contient les arêtes de coût de fusion $< l_c + t$
 - **Test de reconnaissance mutuelle entre les régions:** chaque sommet v_j sélectionne l'arc vers le sommet adjacent v_k de meilleur coût de fusion. Si v_j est aussi le meilleur coût pour v_k alors $(v_j, v_k) \in E'$
 - **Extraction itérative:** Un seuil t sur le coût de fusion est choisi. Parmi les arêtes de coût $< t$ on sélectionne l'arête (v_j, v_k) de moindre coût. On supprime les arêtes aboutissant aux sommets v_j et v_k . On sélectionne parmi les arêtes restantes celle de coût minimal et on recommence jusqu'à avoir traité toutes les arêtes.

Division et fusion de régions

Graphe d'origine



a) *minimums locaux stricts du coût de fusion*

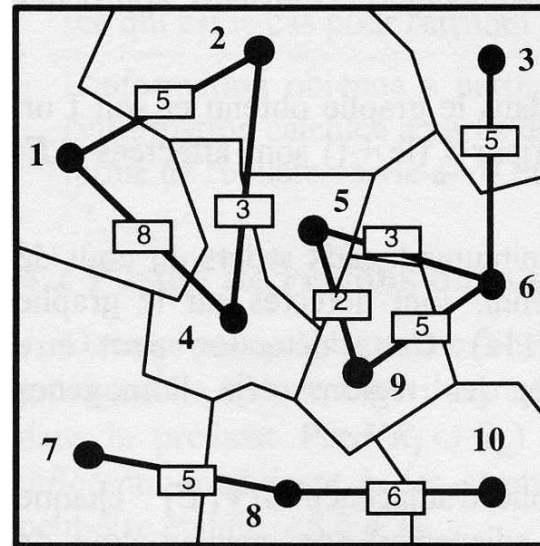
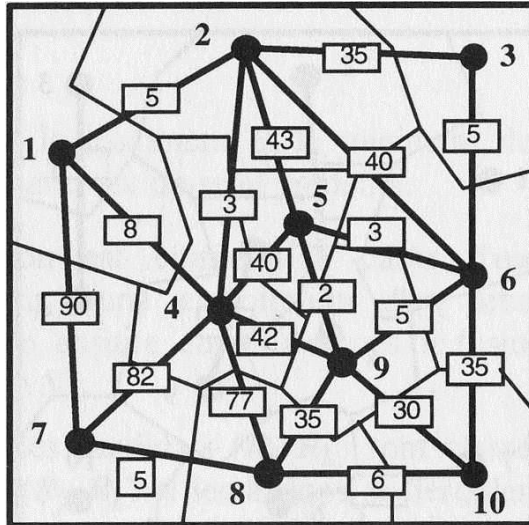
b) *accord mutuel entre sommets*

Figure 12.11 : Sélection de E' , à partir de la figure 12.10 (seuil fusion = 5)

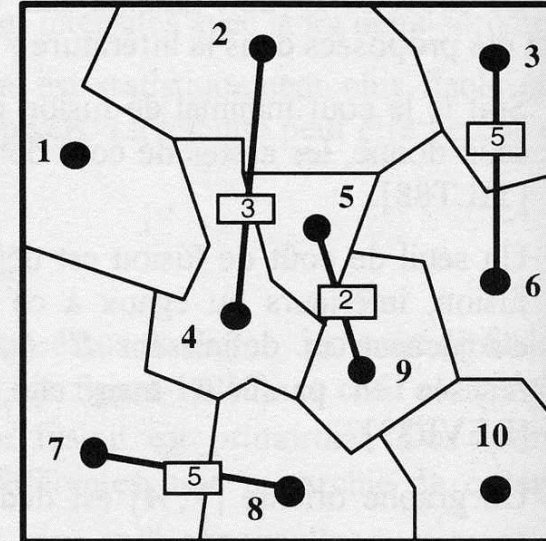
Résultat obtenu avec la technique de reconnaissance mutuelle. Seuil $t=5$

Division et fusion de régions

Graphe d'origine



a) restriction de E aux arêtes de coût de fusion inférieur au seuil (=15)



b) résultat de l'extraction itérative des arêtes

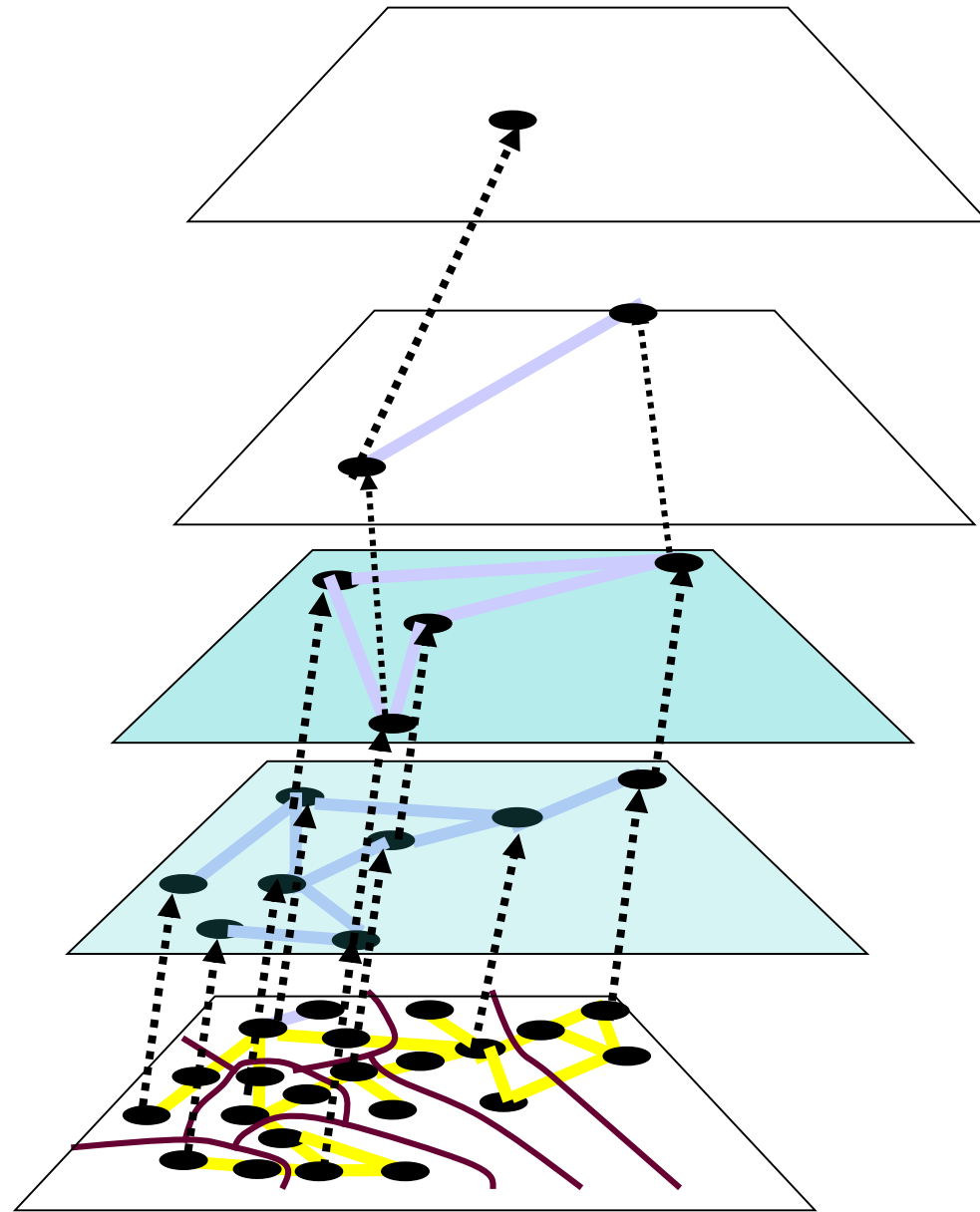
Résultat obtenu par extraction itérative des arêtes.
Seuil=15

Fusion multicritère

- Dans la phase de fusion un couple de région R_k, R_j devra:
 - Vérifier un **prédicat d'uniformité** ($Pred_i$)
 - Minimiser **une fonction de qualité** ($Qual_i$)
- Monga et Gagalowicz ont développé un algorithme qui utilise une séquence hiérarchisée de critères de fusion:
 - $S = \{(Pred_1, Qual_1), \dots, (Pred_n, Qual_n)\}$
- On opère autant d'étapes de fusion qu'il y a de critères dans la séquence.
- A chaque étape de la séquence, les couples (R_k, R_j) sont classés suivant la valeur de la fonction de qualité et les fusions se déroulent suivant l'ordre établi.

Pyramides adaptatives

- Principe: partitionnement de l'image par un procédé de **type fusion ascendante** de régions.
- Initialisation:
 - Un pixel est un nœud du graphe
 - Les arêtes sont les liens de voisinage entre régions
- Processus itératif: à chaque itération on tente de supprimer le maximum de régions par **agglomération** (réduction de graphe)



Fusion pyramidale

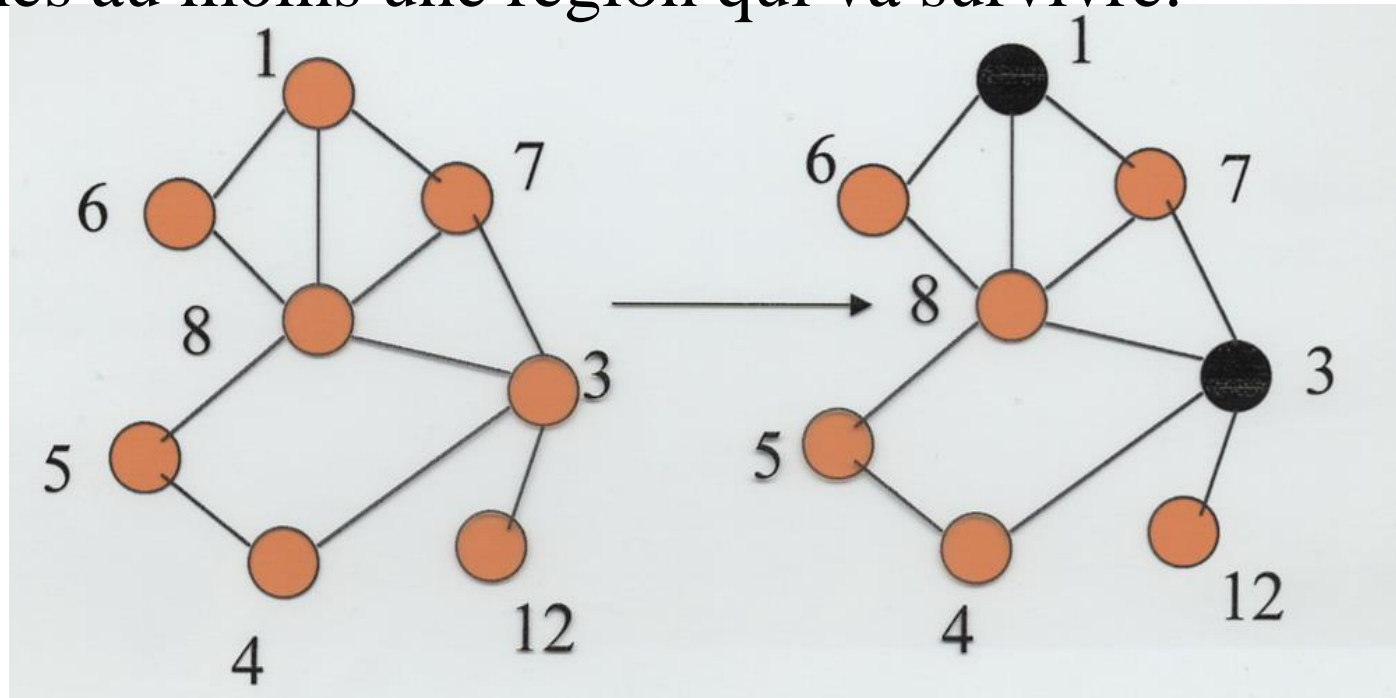
Pyramides adaptatives

- Règles de fusion:
 - Sélectionner un sous-ensemble du graphe: **régions survivantes**
 - Affectation de toutes **les régions non survivantes à une région survivante** en conservant la cohérence du graphe
- Les valeurs associées aux nœuds pourront être une **mesure de variation** (variance). Les régions survivantes seront des minimums locaux (régions homogènes)
- Les régions non survivantes fusionneront avec la région survivante voisine qui leurs **ressemble** le plus

Pyramides adaptatives

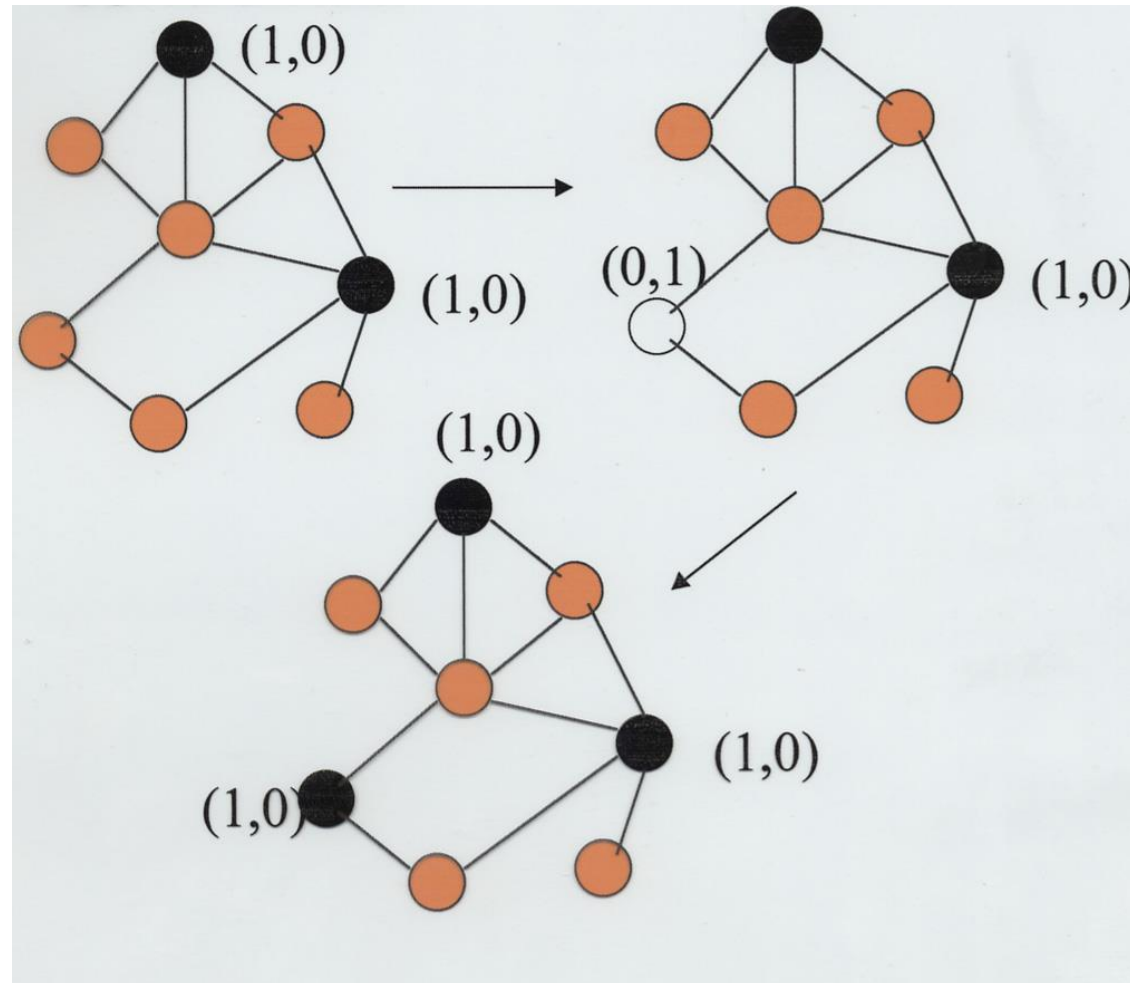
Contraintes:

- deux régions voisines ne peuvent survivre toutes les deux.
- toute région non survivante possède, parmi ses régions voisines au moins une région qui va survivre.



Pyramides adaptatives

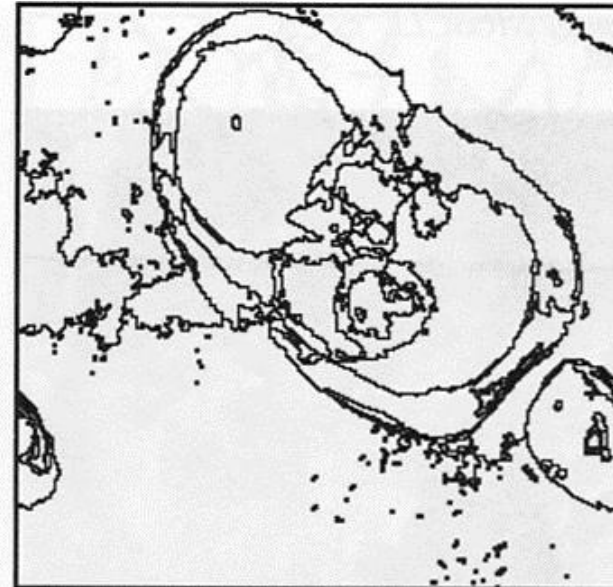
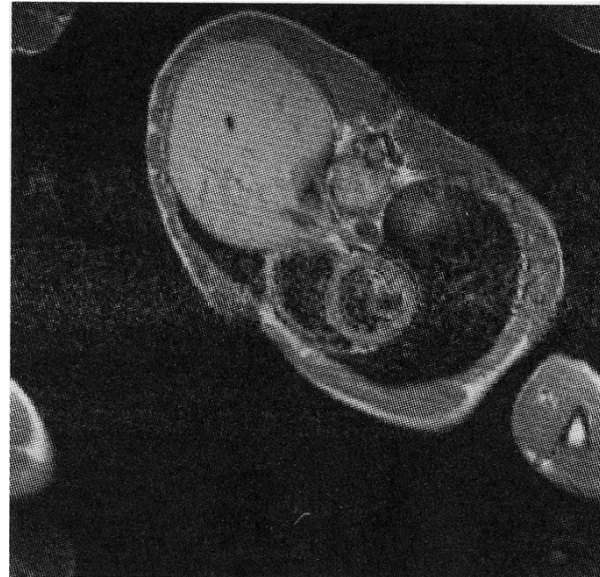
Etape de décimation: satisfaction de la deuxième contrainte:



Pyramides adaptatives: neutralisation de certaines régions

- Si P est non survivante et si P' est la plus similaire des ses régions voisines survivantes alors
 - Si $\text{contraste}(P, P') > \text{seuil}$ alors
 - P est neutralisée
 - Sinon P fusionne avec P'

Pyramide adaptatives



Plan du cours

- Pourquoi les graphes ?
- Rappels et définitions
- De l'image à l'objet graphe: les graphes d'adjacence de régions
- Simplification de graphes
 - division et fusion de régions
 - fusion pyramidale
- **Interprétation d'images: Mise en correspondance de graphes**
 - Isomorphisme de graphes et sous graphes
 - Isomorphisme de sous-graphe avec tolérance d'erreur
 - Mise en correspondance inexacte: un problème de satisfaction de contraintes

Reconnaissance des formes

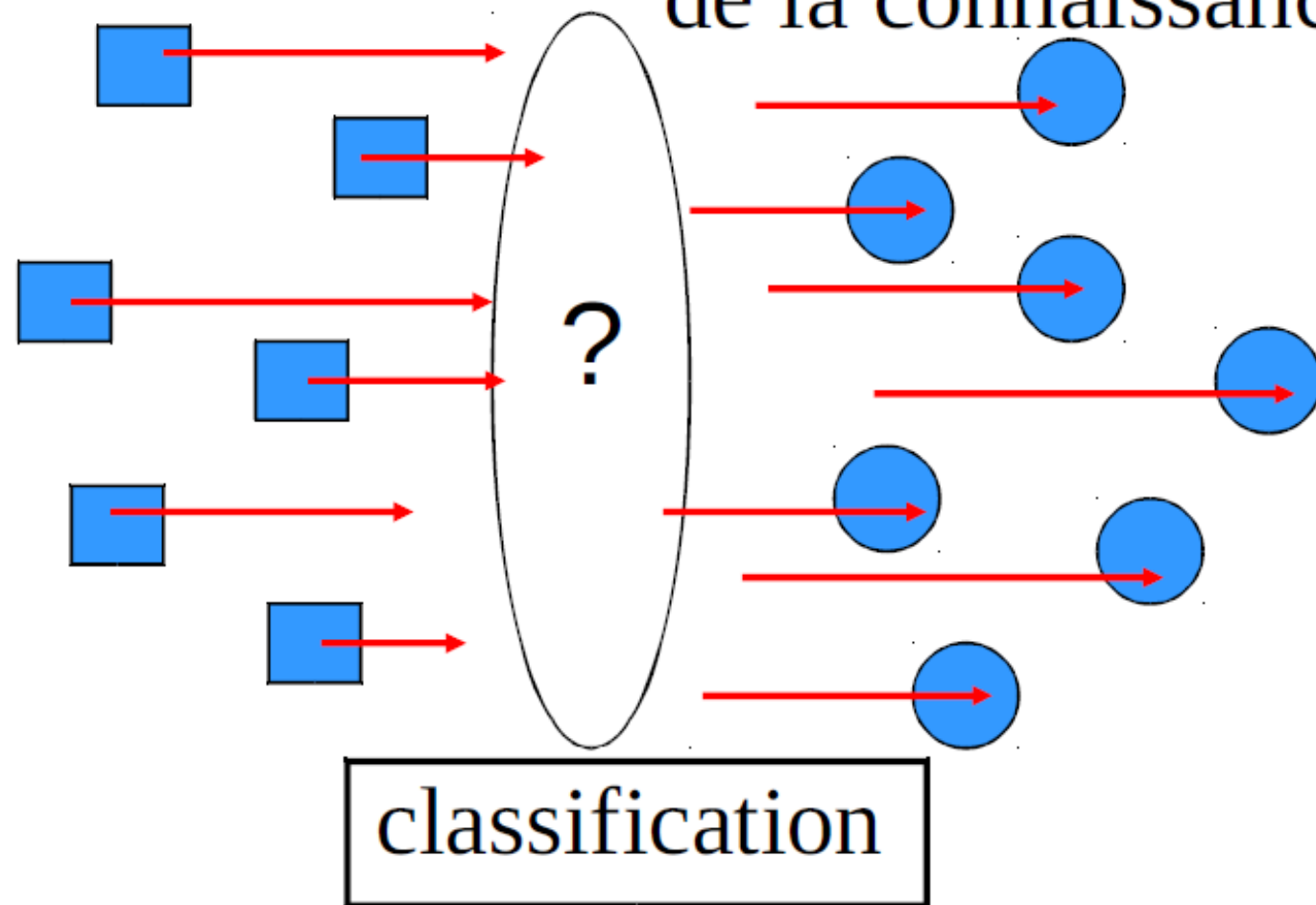
- **Objet** : défini par un ensemble de primitives (noeuds du graphe)
- **Relations binaires** de compatibilité entre primitives (arcs du graphe)
- **Clique** : sous-ensemble de primitives compatibles 2 à 2 = configuration possible de l'objet
- Reconnaissance par détection de la clique maximale
- **Recherche des cliques** :
 - Problème NP-complet
 - Pas d'algorithme qui soit dans tous les cas non exponentiel
 - Construction d'un arbre de décision : un noeud de l'arbre = 1 clique du graphe
 - Elagage de l'arbre pour ne pas réengendrer les mêmes cliques

Interprétation d'images

- Tenenbaum et Barrow (1977)
 - Segmentation en régions
 - Construction du graphe d'adjacence des régions
 - Interprétation contrainte par un ensemble de règles sur :
 - 1. les objets (taille, couleur, texture,...)
 - 2. les relations entre objets (au-dessus de, à l'intérieur de, à côté de ...)

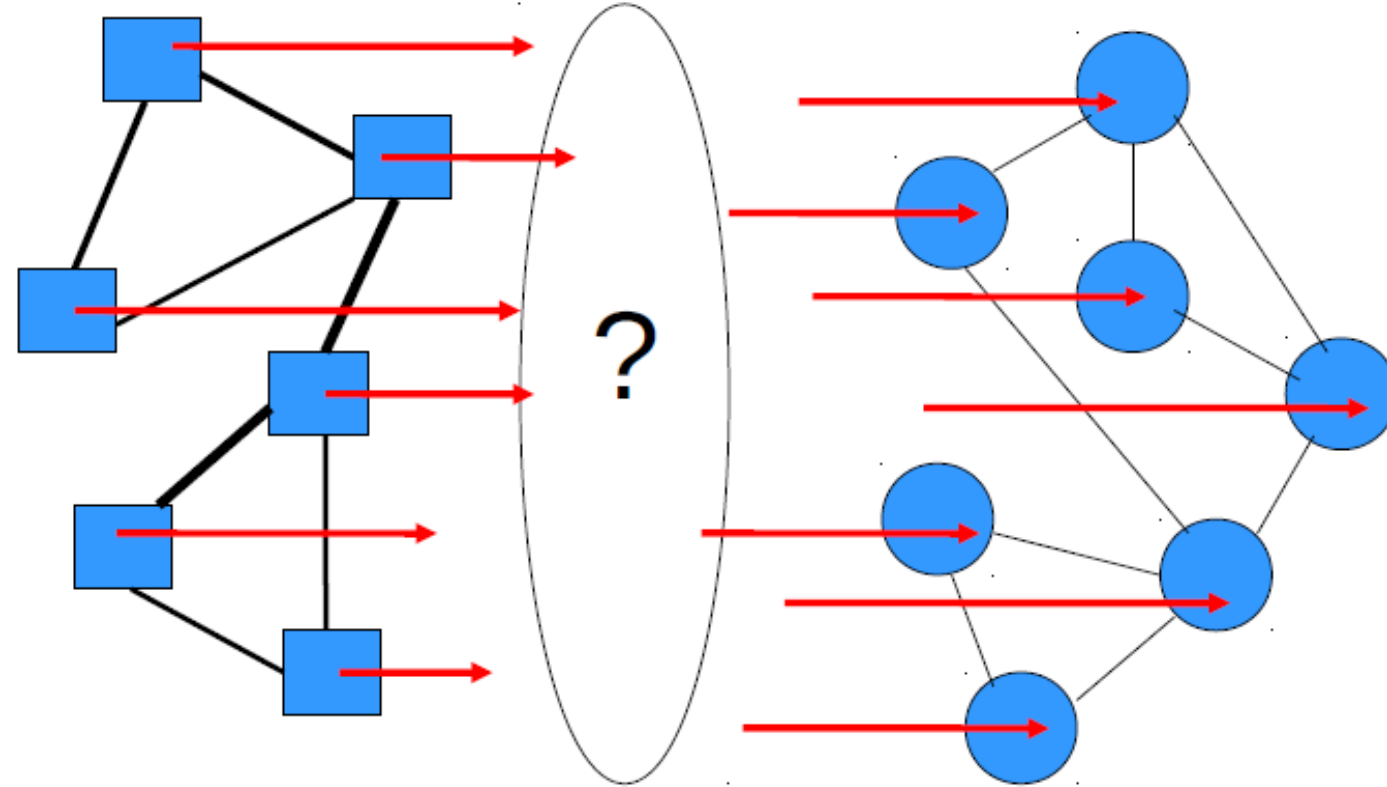
Données

Représentation
de la connaissance



Données

Représentation de
La connaissance



Mise en correspondance

Mise en correspondance

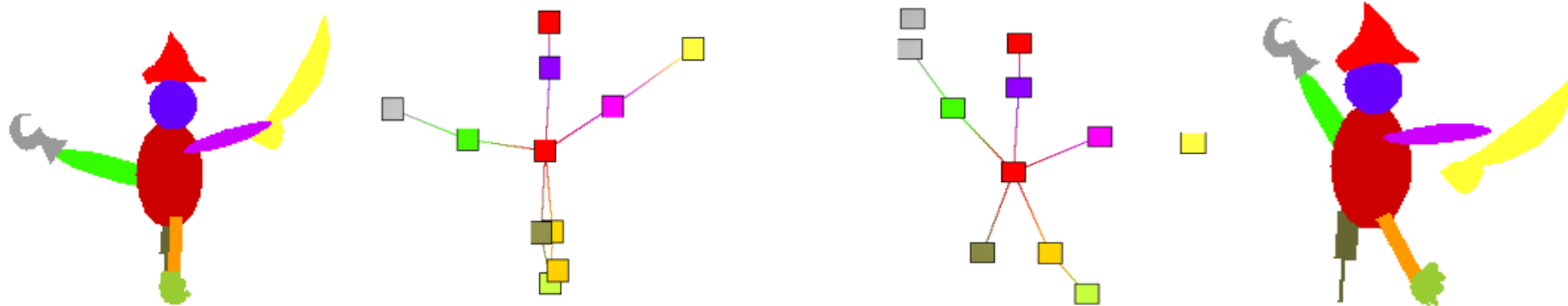
- Soient deux graphes $G(V,E)$ et $G'(V',E')$

mise en correspondance de P avec P'

V'

$$\| |V| - |V'| \| \leq \varepsilon$$

ε un entier positif



Plan du cours

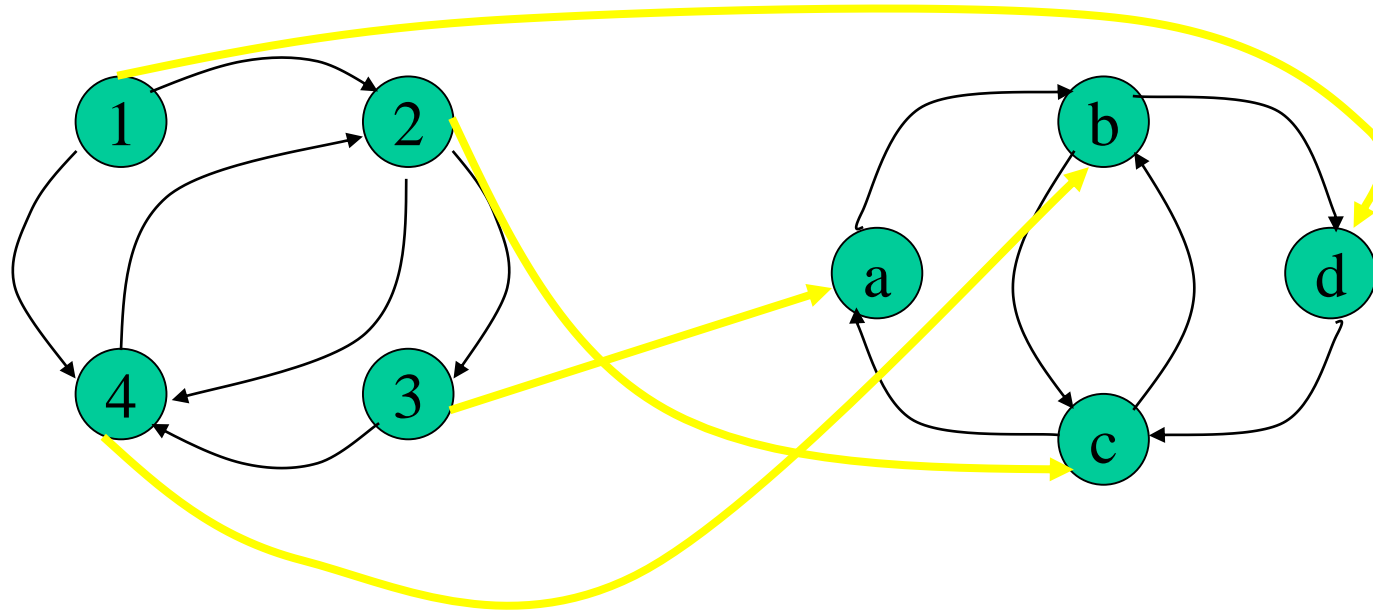
- Pourquoi les graphes ?
- Rappels et définitions
- De l'image à l'objet graphe: les graphes d'adjacence de régions
- Simplification de graphes
 - division et fusion de régions
 - fusion pyramidale
- Interprétation d'images: Mise en correspondance de graphes
 - Isomorphisme de graphes et sous graphes
 - Isomorphisme de sous-graphe avec tolérance d'erreur
 - Mise en correspondance inexacte: un problème de satisfaction de contraintes

Mise en correspondance (matching) de graphes

- **Problème :**
 - Graphe(s) modèle(s) (atlas, carte, modèle(s) d'objet(s))
 - Graphe image construit à partir des données
 - Mise en correspondance des deux graphes
 - $G = (X, E, \mu, \nu) \rightarrow ? G' = (X', E', \mu', \nu')$
- **Isomorphismes de graphes :** fonction bijective $f : X \rightarrow X'$
 - $\mu(x) = \mu'(f(x))$
 - $\forall e = (x_1, x_2), \exists e' = (f(x_1), f(x_2)) / \nu(e) = \nu'(e')$ et réciproquement

Isomorphisme de graphes

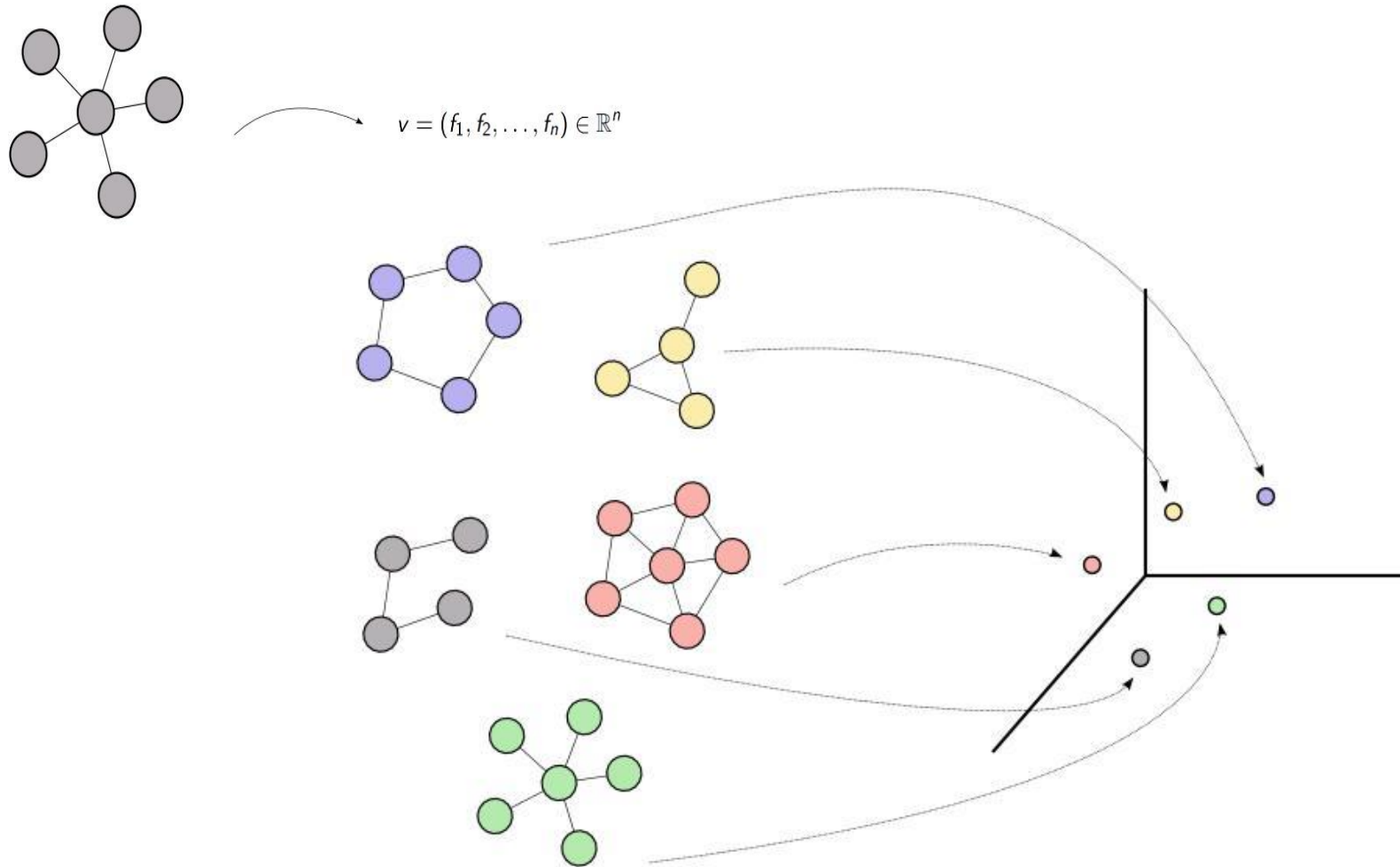
- Appariement de graphe, Exemple:



Appariement avec la fonction f

Souvent trop strict \Rightarrow **isomorphismes de sous-graphes**

Classification en terme de graphes



Classification en termes de graphes

- Soient X et Y les objets (resp. scènes), on cherche à savoir si

$$X \cong Y \text{ ou } X \subseteq Y.$$

- L'isomorphisme de graphe $G = (V, E), G' = (V', E')$ ($X \cong Y$)
 - $|V| = |V'|$ et
 - il existe $\phi : V \rightarrow V'$ bijective tel que :

$$(v_1, v_2) \in E \Leftrightarrow (\phi(v_1), \phi(v_2)) \in E'$$

- L'isomorphisme partiel de sous graphes ($X \subseteq Y$)
 - $|V| \leq |V'|$ et
 - il existe $\phi : V \rightarrow V'$ injective tel que :

$$(v_1, v_2) \in E \Rightarrow (\phi(v_1), \phi(v_2)) \in E'$$

Classification en termes de graphes

- L'isomorphisme de sous graphe
 - idem que isomorphisme partiel de sous graphe avec en plus :

$$\forall (v_1, v_2) \in V^2 \quad (v_1, v_2) \notin E \Rightarrow (\phi(v_1), \phi(v_2)) \notin E'$$

on a donc :

$$(\phi(v_1), \phi(v_2)) \in E' \Rightarrow (v_1, v_2) \in E$$

Classification en termes de graphes

- Sous graphe partiel commun de taille maximum (mcps).
graphe de taille maximum (en nombre de noeuds), sous graphe partiel de G et G' .
- Sous graphe commun de taille maximum (mcs)
idem que mcps mais isomorphisme de sous graphe au lieu d'isomorphisme partiel de sous graphes.

Classification en termes de graphes

- Sous graphe (partiel) commun **maximum** ou **maximal** ?
- Étant donné un sous graphe (partiel) commun de G et G' , celui-ci est dit **maximal**, si on ne peut plus y ajouter de sommet sans briser les isomorphismes.
- Un sous graphe est dit **maximum** si tout sous graphe (partiel) commun de G et G' à un cardinal (nombre de noeuds) inférieur.

Classification en termes de graphes

- L'appariement non bijectif :
 - Trouver $\phi : V' \rightarrow \mathcal{P}(V)$ qui associe à chaque sommet du graphe modèle $v' \in V'$ un ensemble de sommets du graphe scène et tel que :
 1. chaque sommet de V est associé à exactement 1 sommet de V' .
 2. $v \in \phi(v')$ ssi cet appariement est vraisemblable (en terme de similarité)
 3. chaque sous graphe de G induit par $\phi(v'), v' \in V'$ est connexe.
 4. pour tout $v' \in V', |\phi(v')| \geq 1$.

Applications aux images sur segmentées.

⚠ fondamental en terme d'applications.

Isomorphisme de graphes ou de sous graphes :

- Isomorphisme de graphes ou de sous graphes : Problème NP complet
- Heuristiques pour obtenir des solutions (éventuellement) sous optimales.
- Deux approches :
- approche symbolique ou algorithmique :
 - Définir un algorithme qui effectue une recherche dans l'espace des solutions en rejetant à priori certaines solutions.
 - Bon contrôle sur la solution.
- approche numérique :
 - Définir le problème en terme de minimisation/maximisation d'une fonction/énergie.
 - Utilisation de tout l'arsenal des méthodes de minimisation

Principaux Acteurs

- Approches Algorithmiques
 - Horst Bunke (Suisse),
 - Marcello Pellilo (Italie),
 - Mario Vento (Italie).

- Approches numériques
 - Edwin Hancock (UK),
 - Kittler (UK),
 - Sven Dickinson (Canada),

Isomorphisme

- - Matrice d'adjacence et permutation (Ullman Bunke)
- Appariement par représentation de l'espace des états
- Algorithme Hongrois (algorithme de Kühn), minimisation d'affectation.

Approches algorithmiques (Ullman/Bunke)

- Définitions :

- Un **graphe labélisé** $G = (V, E, \mu, \nu, L_v, L_e)$

$$\begin{cases} \mu : V \rightarrow L_v & \text{fonction de label des sommets} \\ \nu : E \rightarrow L_e & \text{fonction de label des arêtes} \end{cases}$$

- Un **sous graphe labélisé** $G_s = (V_s, E_s, \mu_s, \nu_s, L_v, L_e)$ de $G = (V, E, \mu, \nu, L_v, L_e)$.
 - μ_s et ν_s restriction de μ et ν à $V_s \subset V$ et $E_s \subset E$ (avec $E_s = E \cap V_s \times V_s$).

Matrice d'adjacence, permutation

■ **La matrice d'adjacence** $M = (m_{i,j})$ d'un graphe $G = (V, E, \mu, \nu, L_v, L_e)$ définie par :

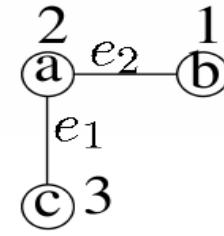
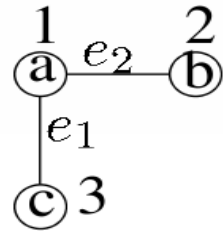
1. $\forall i \in \{1, \dots, n\} m_{i,i} = \mu(v_i)$
2. $\forall (i, j) \in \{1, \dots, n\}^2, i \neq j$

$$m_{i,j} = \begin{cases} \nu((v_i, v_j)) & \text{si } (v_i, v_j) \in E \\ 0 & \text{sinon} \end{cases}$$

■ **Une matrice de permutation** $n \times n$, $P = (p_{i,j})$ vérifie :

1. $\forall (i, j) \in \{1, \dots, n\}^2 p_{i,j} \in \{0, 1\}$,
2. $\forall j \in \{1, \dots, n\} \sum_{i=0}^n p_{i,j} = 1$,
3. $\forall i \in \{1, \dots, n\} \sum_{j=0}^n p_{i,j} = 1$.

Matrice d'adjacence, Permutation



ou

$$M = \begin{matrix} & \begin{matrix} 1 & 2 & 3 \end{matrix} \\ \begin{matrix} 1 \\ 2 \\ 3 \end{matrix} & \begin{pmatrix} a & e_2 & e_1 \\ e_2 & b & 0 \\ e_1 & 0 & c \end{pmatrix} \end{matrix}, \quad P = \begin{matrix} & \begin{matrix} 1 & 2 & 3 \end{matrix} \\ \begin{matrix} 1 \\ 2 \\ 3 \end{matrix} & \begin{pmatrix} 0 & 1 & 0 \\ 1 & 0 & 0 \\ 0 & 0 & 1 \end{pmatrix} \end{matrix}$$

$$M' = PMP^t = \begin{matrix} & \begin{matrix} 1 & 2 & 3 \end{matrix} \\ \begin{matrix} 1 \\ 2 \\ 3 \end{matrix} & \begin{pmatrix} b & e_2 & 0 \\ e_2 & a & e_1 \\ 0 & e_1 & c \end{pmatrix} \end{matrix}$$

Bunke/Ullman : Définitions

- Deux graphes G_1 et G_2 de matrices M_1 et M_2 sont dis **isomorphes** ssi il existe P matrice de permutation telle que :

$$M_2 = PM_1P^t$$

- Il existe un isomorphisme de sous graphe entre G_1 et G_2 ssi il existe $S \subset G_2$ tel que G_1 et S sont isomorphe ($S = (S, E \cap S \times S, \mu|_S, \nu|_S, L_v, L_e)$).
- Soit $M = (m_{i,j})$ une $n \times n$ matrice d'adjacence.

$$\forall (k, m) \in \{1, \dots, n\}^2 \quad S_{k,m}(M) = (m_{i,j})_{i \in \{1, \dots, k\}, j \in \{1, \dots, m\}}$$

- $S_{k,k}(M)$ matrice d'adjacence du sous graphe restreint aux k premiers sommets.

Bunke/Ullman : isomorphisme de sous-graphe

- Soient G_1 et G_2 de matrices d'adjacences M_1 et M_2
 - $M_1 : m \times m$,
 - $M_2 : n \times n$ avec $m \leq n$.

Il existe un isomorphisme de sous graphe entre G_1 et G_2 ssi il existe une matrice de permutation $n \times n$ P telle que :

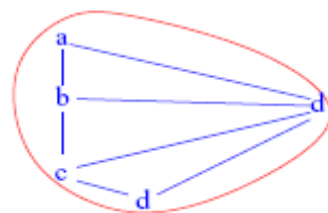
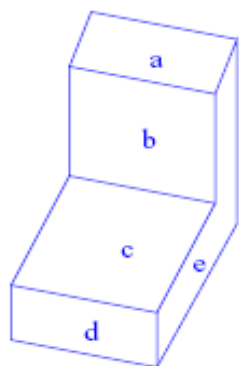
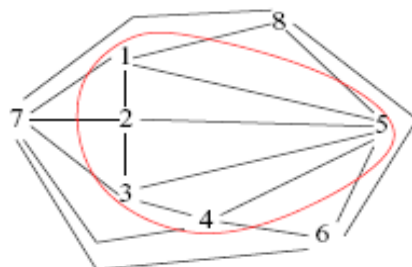
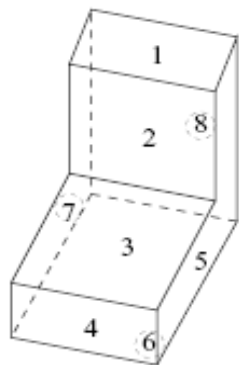
$$M_1 = S_{m,m}(PM_2P^t)$$

- Remarque 1 :

$$M_1 = S_{m,m}(PM_2P^t) = S_{m,n}(P)M_2(S_{m,n}(P))^t$$

Isomorphismes de sous-graphes

- Il existe un sous-graphe S' de G' tel que f soit un isomorphisme de G dans S'



- Il existe un sous-graphe S de G et un sous-graphe S' de G' tel que f soit un isomorphisme de S dans S'

Bunke/Ullman : isomorphisme de sous-graphe

- Remarque 2 : si pour $i \leq m \leq n$

$$S_{i,i}(M_1) = S_{i,i}(PM_2P^t) = S_{i,n}(P)M_2(S_{i,n}(P))^t$$

$S_{i,n}(P)$ représente un appariement partiel entre les i premiers sommets de G_1 et les sommets de G_2 .

- L'algorithme

procédure Ullman (G_1, G_2)

Déclaration

$P = (p_{i,j})$ matrice $n \times n$ de permutation,

$m = |V_1|, n = |V_2|,$

M_1, M_2 matrices d'adjacences

début

retourner backtrack($M_1, M_2, P, 1$)

fin

Bunke/Ullman : isomorphisme de sous-graphe

procédure backtrack (M_1, M_2, P, k)

début

si $k > m$ **alors**

Remarque : P est un isomorphisme de sous graphe.

retourner P

finsi

pour $i \leftarrow 1$ **à** n **faire**

$p_{k,i} \leftarrow 1$

$\forall j \neq i \ p_{k,j} \leftarrow 0$

finpour

si $S_{k,k}(M_1) = S_{k,n}(P)M_2S_{k,n}(P)^t$ **alors**

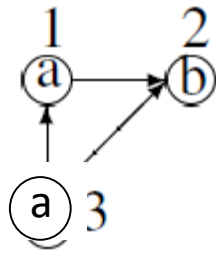
backtrack($M_1, M_2, P, k + 1$)

finsi

fin

Bunke: Exemple

- Étant donné une matrice M_i de G_i calculer l'ensemble $A(G_i)$ des graphes isomorphes à G_i :



	1	2	3
b	1	1	
0	a	1	
0	0	a	

A

	1	3	2
b	1	1	
0	a	0	
0	1	a	

B

	2	1	3
a	0	1	
1	b	1	
0	1	a	

C

	2	3	1
a	1	0	
0	a	0	
1	1	a	

D

	3	1	2
a	0	0	
1	b	1	
1	0	a	

E

	3	2	1
a	0	0	
1	a	0	
1	1	b	

F

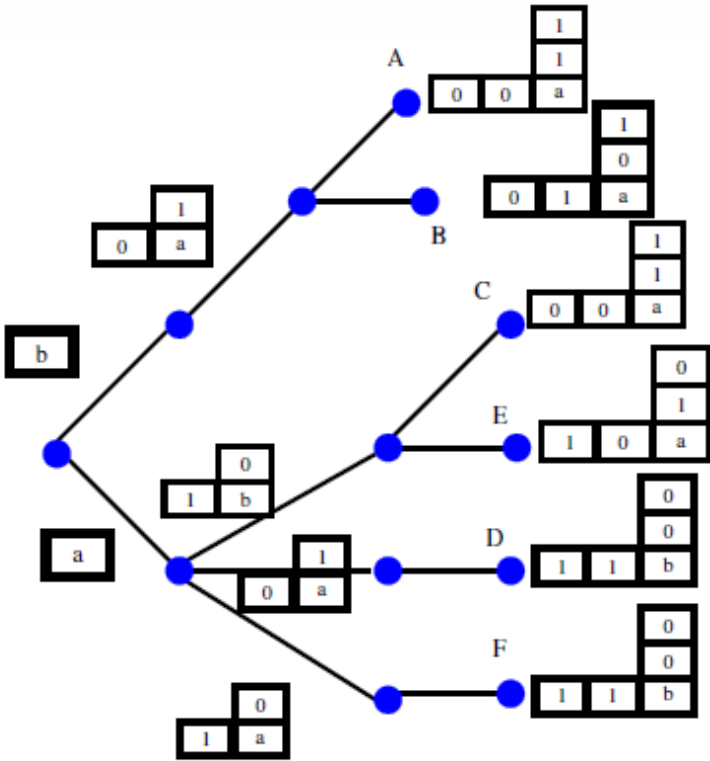
Bunke : Exemple

- Décomposer une matrice en vecteurs :

$$\begin{array}{|c|c|c|} \hline & 1 & 2 & 3 \\ \hline 1 & b & 1 & 1 \\ \hline 2 & 0 & a & 1 \\ \hline 3 & 0 & 0 & a \\ \hline \end{array} = \begin{array}{|c|} \hline a_1 \\ \hline \end{array} \begin{array}{|c|c|} \hline & a_2 \\ \hline 0 & 1 \\ \hline & a \\ \hline \end{array} \begin{array}{|c|c|c|} \hline & & a_3 \\ \hline & & 1 \\ \hline & & 1 \\ \hline 0 & 0 & a \\ \hline \end{array}$$
$$\left\{ \begin{array}{l} a_1 = (b) \\ a_2 = (1, a, 0) \\ a_3 = (1, 1, a, 0, 0) \end{array} \right.$$

Bunke: Exemple

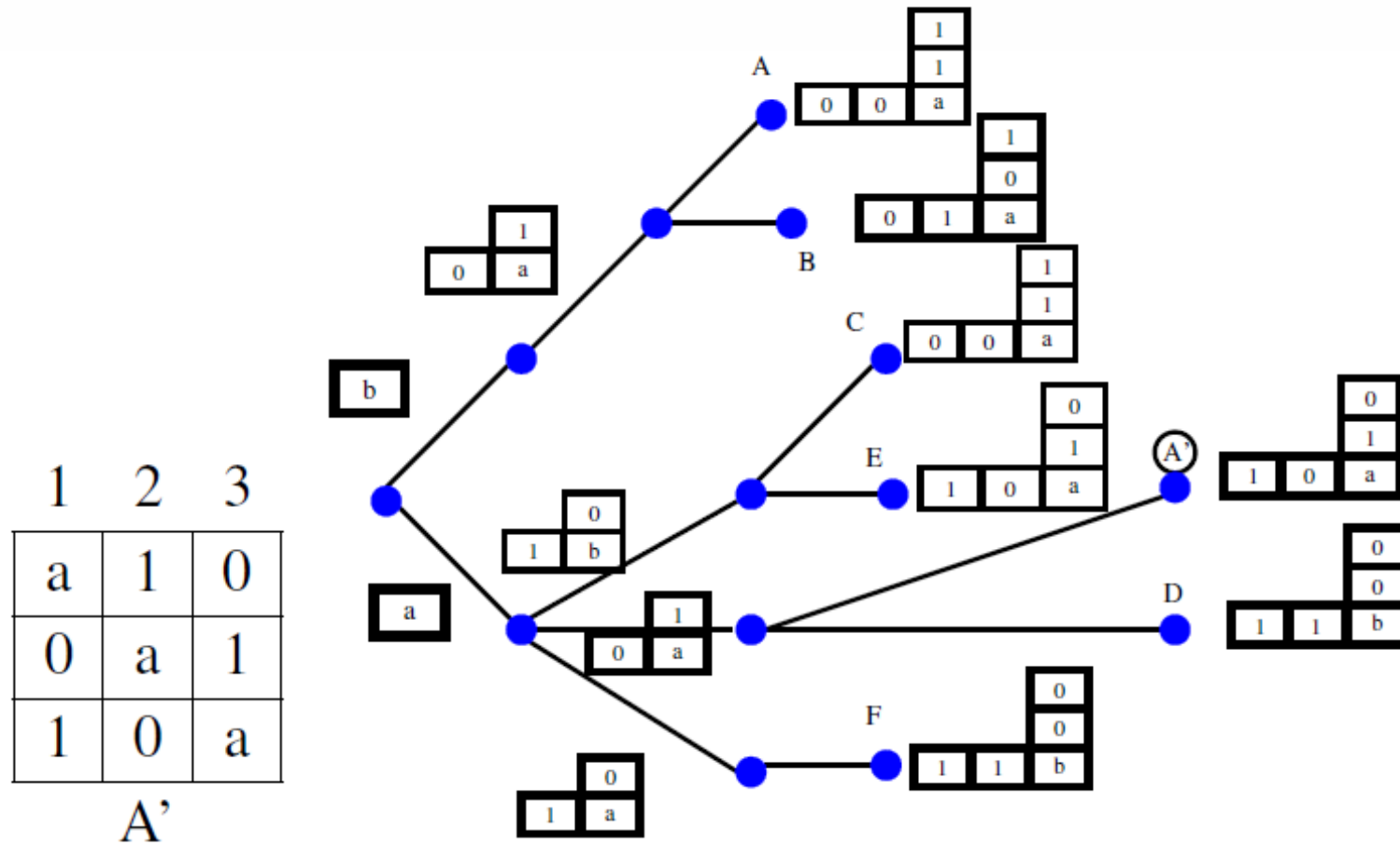
■ Construire un arbre de recherche à partir de la décomposition



1	2	3	1	3	2	2	1	3
b	1	1	b	1	1	a	0	1
0	a	1	0	a	0	1	b	1
0	0	a	0	1	a	0	1	a
A			B			C		
2	3	1	3	1	2	3	2	1
a	1	0	a	0	0	a	0	0
0	a	0	1	b	1	1	a	0
1	1	a	1	0	a	1	1	b
D			E			F		

Bunke: Exemple

- Créer un arbre contenant tous les modèles.



Appariement par représentation de l'espace des états

- State Space Representation (SSR).
- Un état : Un appariement partiel.
- Méthode : explorer successivement les différents états.
- Différentiation des méthodes :
 - Passage d'un état à un autre,
 - Méthode pour ne pas boucler (considérer 2 fois le même état),
 - Heuristique pour restreindre l'espace de recherche.

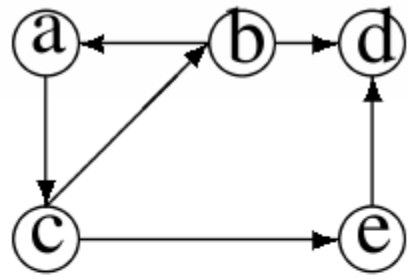
SSR : Algorithme de Cordella

2001-VF2

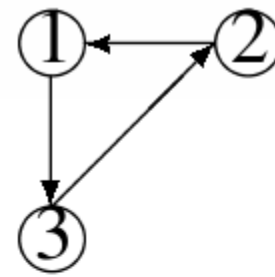
■ Notations :

- $G_1 = (V_1, E_1), G_2 = (V_2, E_2)$ les deux graphes *orientés*,
- On cherche soit :
 - un isomorphisme entre G_1 et G_2 ,
 - Soit un isomorphisme de sous graphe entre G_2 et G_1 ($|V_2| \leq |V_1|$)
- état s ,
- $M(s)$ appariement partiel associé à s ,
- $M_1(s)$ sommets de $M(s)$ dans V_1 ,
- $M_2(s)$ sommets de $M(s)$ dans V_2
- $P(s)$ ensemble des couples (dans $V_1 \times V_2$) candidats à un ajout dans s ,
- $F(s, n, m)$ l'ajout de (n, m) à s définit il un isomorphisme partiel ?
- $T_1^{in}(s)(T_1^{out}(s))$ ensemble des sommets de G_1 prédécesseurs (successeurs) d'un sommet de $M_1(s)$.
- $T_2^{in}(s)(T_2^{out}(s))$ ensemble des sommets de G_2 prédécesseurs (successeurs) d'un sommet de $M_2(s)$.

Cordella : exemple de notations



G_1



G_2

- $M(s) = (a, 1)$
- $M_1(s) = \{a\}, M_2(s) = \{1\}$
- $T_1^{in}(s) = \{b\}; T_1^{out}(s) = \{c\};$
- $T_2^{in}(s) = \{2\}; T_2^{out}(s) = \{3\};$

Cordella : l'algorithme

procédure appariement (E s)

début

Remarque : s_0 entrée initiale telle que $M(s_0) = \emptyset$

si $M(s)$ contient tous les sommets de G_2 **alors**

retourner $M(s)$

sinon

Calculer $P(s)$

Pour chaque (n, m) **dans** $P(s)$ **faire**

si $F(s, n, m)$ **alors**

Calculer s' après ajout de (n, m) à $M(s)$

appariement(s')

finsi

finpour

Restauration des structures de données

finsi

fin

Calcul de $P(s)$

- Si $T_1^{out}(s)$ et $T_2^{out}(s)$ non vides

$$P(s) = T_1^{out}(s) \times \{\min T_2^{out}(s)\}$$

min relation d'ordre quelconque.

- Sinon Si $T_1^{in}(s)$ et $T_2^{in}(s)$ non vides

$$P(s) = T_1^{in}(s) \times \{\min T_2^{in}(s)\}$$

- Sinon si $T_1^{in}(s) = T_2^{in}(s) = T_1^{out}(s) = T_2^{out}(s) = \emptyset$

$$P(s) = (V_1 - M_1(s)) \times \{\min(V_2 - M_2(s))\}$$

- Note : Si un des $T^{in}(s)$ (resp. $T^{out}(s)$) est vide et pas l'autre $M(s)$ ne peut conduire à un appariement.

Calcul de $F(s, n, m)$

$$F(s, n, m) = R_{pred}(s, n, m) \wedge R_{succ}(s, n, m) \wedge \\ R_{in}(s, n, m) \wedge R_{out}(s, n, m) \wedge R_{new}(s, n, m)$$

- R_{pred}, R_{succ} : $M(s')$ définit il un appariement ?
- R_{in}, R_{out} : pourra t on construire un appariement au coup d'après ?
- R_{new} : Pourrai je arriver à un appariement (à terme) ?
 - $R_{pred}(s, m, n)$: les prédécesseurs correspondent :

$$(\forall n' \in M_1(s) \cap Pred(G_1, n) \exists m' \in Pred(G_2, m) | (n', m') \in M(s)) \wedge \\ (\forall m' \in M_2(s) \cap Pred(G_2, m) \exists n' \in Pred(G_1, n) | (n', m') \in M(s))$$

- $R_{succ}(s, m, n)$: les successeurs correspondent :

$$(\forall n' \in M_1(s) \cap Succ(G_1, n) \exists m' \in Succ(G_2, m) | (n', m') \in M(s)) \wedge \\ (\forall m' \in M_2(s) \cap Succ(G_2, m) \exists n' \in Succ(G_1, n) | (n', m') \in M(s))$$

Prédicats R_{in} et R_{out}

- Les successeurs (prédécesseurs) de n et m doivent être en correspondance localement.

- $R_{in}(s, n, m)$

$$\begin{aligned} & (|T_1^{in}(s) \cap Succ(G_1, n)| \geq |T_2^{in}(s) \cap Succ(G_2, m)|) \wedge \\ & (|T_1^{in}(s) \cap Pred(G_1, n)| \geq |T_2^{in}(s) \cap Pred(G_2, m)|) \end{aligned}$$

- $R_{out}(s, n, m)$

$$\begin{aligned} & (|T_1^{out}(s) \cap Succ(G_1, n)| \geq |T_2^{out}(s) \cap Succ(G_2, m)|) \wedge \\ & (|T_1^{out}(s) \cap Pred(G_1, n)| \geq |T_2^{out}(s) \cap Pred(G_2, m)|) \end{aligned}$$

- Remplacer \geq par $=$ pour l'isomorphisme de graphe.

Prédicat R_{new}

- Les successeurs et prédécesseurs doivent se correspondre en dehors des $M_i(s), T_i^{in}(s)$ et $T_i^{out}(s), i = 1, 2$.

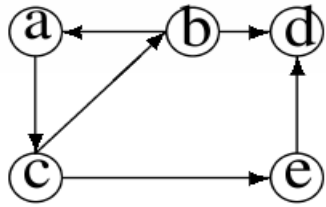
- $R_{new}(s, n, m)$

$$\begin{aligned} & (|N_1(s) \cap Succ(G_1, n)| \geq |N_2(s) \cap Succ(G_2, m)|) \wedge \\ & (|N_1(s) \cap Pred(G_1, n)| \geq |N_2(s) \cap Pred(G_2, m)|) \end{aligned}$$

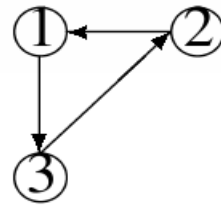
- avec :

- $N_1(s) = V_1 - M_1(s) - T_1^{in}(s) \cup T_1^{out}(s)$: tout ce qui reste a voir dans V_1
- $N_2(s) = V_2 - M_2(s) - T_2^{in}(s) \cup T_2^{out}(s)$: tout ce qui reste a voir dans V_2

Exemple



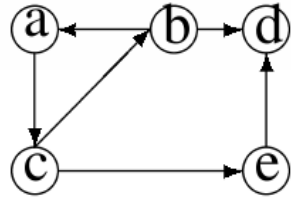
G_1



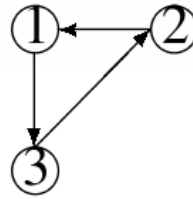
G_2

- $M(s) = (a, 1)$
- $M_1(s) = \{a\}, M_2(s) = \{1\}$
- $T_1^{in}(s) = \{b\}; T_1^{out}(s) = \{c\};$
- $T_2^{in}(s) = \{2\}; T_2^{out}(s) = \{3\};$
- $P(s) = (c, 3)$
- $Pred(G_1, c) = \{a\}; Succ(G_1, c) = \{b, e\}$
- $Pred(G_2, 3) = \{1\}; Succ(G_2, 3) = \{2\}$
- $F(s, c, 3) = vrai.$

Exemple



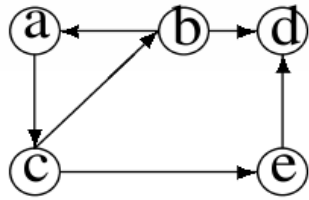
G_1



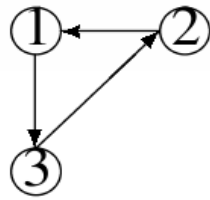
G_2

- $M(s') = \{(a, 1), (c, 3)\}$
- $M_1(s') = \{a, c\}, M_2(s) = \{1, 3\}$
- $T_1^{in}(s') = \{b\}; T_1^{out}(s') = \{b, e\};$
- $T_2^{in}(s) = \{2\}; T_2^{out}(s) = \{2\};$
- $P(s') = (b, 2), (e, 2)$
- $Pred(G_1, e) = \{c\}; Succ(G_1, e) = \{d\}$
- $Pred(G_2, 2) = \{3\}; Succ(G_2, 2) = \{1\}$
- $(e, 2)$ viole le prédicat $R_{succ}(s', e, 2)$. De fait :
 - $1 \in M_2(s') \cap Succ(G_2, 2)$ or $Succ(G_1, e) \cap M_1(s') = \emptyset$

Exemple



G_1



G_2

- On arrive donc à l'appariement : $M(s'') = \{(a, 1), (c, 3), (b, 2)\}$ et l'on a terminé puisque l'on couvre tous les sommets de G_2 .

Conclusion

- Complexité : ($N = |V_1| + |V_2|$)

	VF2		Ullman	
Complexité	au mieux	au pire	au mieux	au pire
Temps	$\mathcal{O}(N^2)$	$\mathcal{O}(N!N)$	$\mathcal{O}(N^3)$	$\mathcal{O}(N!N^2)$
Espace	$\mathcal{O}(N)$	$\mathcal{O}(N)$	$\mathcal{O}(N^3)$	$\mathcal{O}(N^3)$

- Utilisable pour de gros graphes (jusqu'à 1000 sommets).

Algorithme Hongrois

- Permet de résoudre des problèmes d'affectation.
- On représente dans une matrice le coût de l'affectation entre deux éléments (ce coût peut être dans notre cas un critère de ressemblance)
- On calcule alors le coût minimal

Exemple

Réduction du tableau initial: on soustrait à chaque ligne du tableau initial le plus petit élément de la ligne. On fait de même avec les colonnes.

17	15	9	5	12
16	16	10	5	10
12	15	14	11	5
4	8	14	17	13
13	9	8	12	17

12	10	4	0	7
11	11	5	0	5
7	10	9	6	0
0	4	10	13	9
5	1	0	4	9

12	9	4	0	7
11	10	5	0	5
7	9	9	6	0
0	3	10	13	9
5	0	0	4	9

Exemple

- Encadrer et barrer des zéros
- On cherche la ligne comportant le moins de zéros non barrés (en cas d'égalité, choisir la ligne la plus haute). On encadre un des zéros de cette ligne (arbitrairement le plus à gauche)
- On barre tous les zéros se trouvant sur la même ligne ou sur la même colonne que le zéro encadré.

12	9	4	0	7
11	10	5	0	5
7	9	9	6	0
0	3	10	13	9
5	0	0	4	9

12	9	4	0	7
11	10	5	0	5
7	9	9	6	0
0	3	10	13	9
5	0	0	4	9

Exemple

12	9	4	0	7
11	10	5	0	5
7	9	9	6	0
0	3	10	13	9
5	0	0	4	9

x

12	9	4	0	7	x
11	10	5	0	5	x
7	9	9	6	0	
0	3	10	13	9	
5	0	0	4	9	

- 1- Marquer d'une croix toutes les lignes ne contenant aucun zéro encadré
 - 2- Marquer toute colonne ayant un zéro barré sur une ligne marquée
 - 3- Marquer toute ligne ayant un zéro encadré dans une colonne marquée
- On répète 2 et 3 jusqu'à ne plus pouvoir marquer de ligne ou de colonne

Exemple

			x		
12	9	4	0		7
11	10	5	0		5
7	9	9	6		0
0	3	10	13		9
5	0	0	4		9

12	9	4	0	7
11	10	5	0	5
7	9	9	6	0
0	3	10	13	9
5	0	0	4	9

- On trace un trait sur toute ligne non marquée et sur toute colonne marquée
- On retranche à toutes les cases du tableau partiel le plus petit élément de celui-ci
- On ajoute ce même élément à toutes les case du tableau initial barrées deux fois

Exemple

12	9	4	0	7
11	10	5	\emptyset	5
7	9	9	6	0
0	3	10	13	9
5	0	\emptyset	4	9

8	5	0	0	3
7	6	1	0	1
7	9	9	10	0
0	3	10	17	9
5	0	\emptyset	8	9

On obtient un nouveau tableau sur lequel on peut répéter les trois étapes
 En revenant sur le tableau initial on obtient la valeur de l'affectation minimale
 $9+5+5+4+9=32$

Algorithme hongrois

- Ce principe peut être utilisé pour effectuer l'appariement des nœuds d'un graphe.
- Appariement d'ensembles avec édition, Application à la distance d'édition bipartie entre graphes,
- Sébastien Bougleux, Luc Brun, Benoit Gaüzère, RFIA 2016, Clermont ferrand.

Problèmes de sous graphes communs

- Liens entre les isomorphismes de sous graphes et les sous graphes communs
 - Étant donné deux graphes G_1 et G_2 , G est un sous graphe commun de G_1 et G_2 ssi il existe :
 - $G \xrightarrow{\varphi} G_1$
 - $G \xrightarrow{\psi} G_2$ φ, ψ isomorphismes de sous graphes.
- G est maximum (maximal) si on ne peut trouver de sous graphe de cardinal supérieur (incluant G).
- Première idée : utiliser un algorithme SSR (VF2,McGregor).

Utilisation d'algorithmes SSR

procédure appariement (E, s)

début

Remarque : s_0 entrée initiale telle que $M(s_0) = MCS = \emptyset$

si $M(s)$ contient tous les sommets de G_2 **alors**

retourner $M(s)$

sinon

 Calculer $P(s)$

Pour chaque (n, m) **dans** $P(s)$ **faire**

si $F(s, n, m)$ **alors**

 Calculer s' après ajout de (n, m) à $M(s)$

si $\text{taille}(M(s')) > \text{tailleMax}$ **alors**

$\text{tailleMax} \leftarrow \text{taille}(M(s'))$

$MCS \leftarrow M(s')$

finsi

 appariement(s')

finsi

Graphe d'association

- Soient $G_1 = (V_1, E_1)$ et $G_2 = (V_2, E_2)$, le graphe d'association $G = (V, E)$ de G_1 et G_2 est défini par :

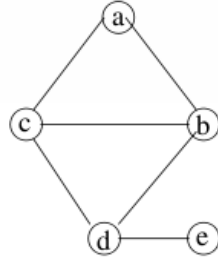
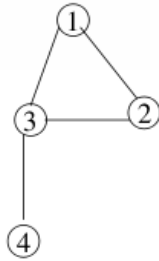
- Sommets :

$$V = V_1 \times V_2$$

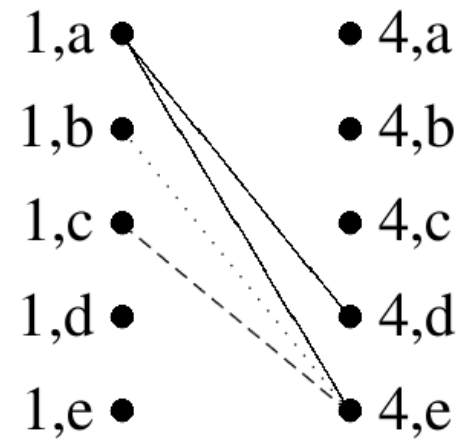
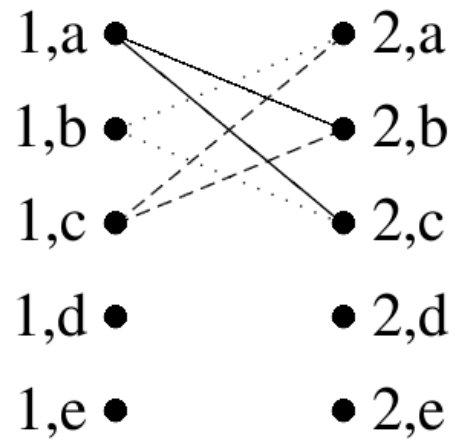
- Arêtes :

$$E = \{((i, h), (j, k)) \in V \times V \mid i \neq j, h \neq k \text{ et } (i, j) \in E_1 \Leftrightarrow (h, k) \in E_2 \}$$

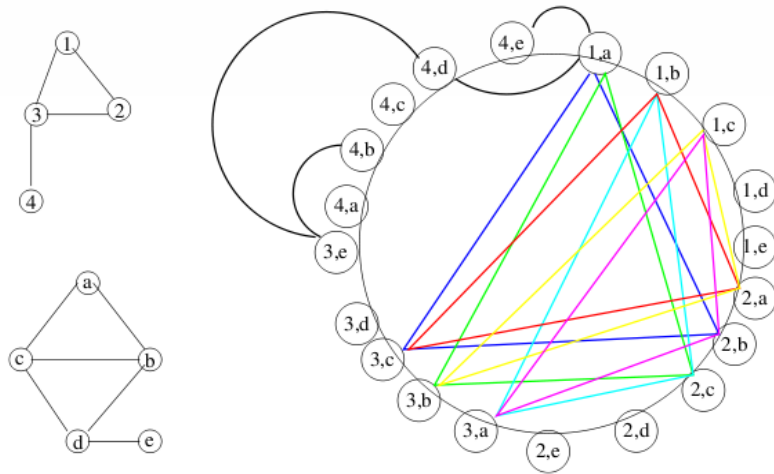
Graphe d'association : exemple



mais également



Graphe d'association : exemple



- Le sous graphe de G restreint à $\{(1, a), (2, b), (3, c)\}$ est complet (lignes **bleu**)
- Tous les appariements sont compatibles.

MCS et clique

- Un sous graphe complet d'un graphe G est appelé un **clique** de G .
- On parle de clique maximal (resp. maximum).
- Le clique-number de G , $w(G)$, est la taille (en nombre de sommets) du clique maximum.

■ Théorème :

Soient G_1 et G_2 deux graphes et G leur graphe d'association. Il existe une relation bijective entre

- *les cliques maximal (maximum) de G et*
- *les sous graphes communs maximal (maximum) de G_1 et G_2 .*

- Donc : Calculer les cliques du graphe d'association G est **équivalent** à calculer les sous graphes communs de G_1 et G_2 .

DurandParisi (1999)

procédure durandParisi (E s)

début

tant que nextNode(s,n) **faire**

si isLegalNode(s,n) et non pruningCondition(s) **alors**

 s' ← addNode(s,n)

si taille(s') > tailleMax **alors**

 MCS ← M(s')

 tailleMax ← taille

finsi

si non leafOfSearchTree(s') **alors**

 durandParisi(s')

finsi

 backtrack(s')

finsi

fintantque

fin

DurandParisi : exemple

